

## بررسی عوامل مؤثر در حادثه‌های خط انتقال آب گیسور- گناباد

مهدى نورى ابوذری<sup>۱</sup>، محمد رضا جعفرزاده<sup>۲\*</sup>

۱- دانش آموخته کارشناسی ارشد مهندسی عمران- آب، دانشکده مهندسی، دانشگاه فردوسی مشهد

۲- استاد گروه مهندسی عمران، دانشکده مهندسی، دانشگاه فردوسی مشهد

\* مشهد، صندوق پستی ۹۱۷۷۵- ۱۱۱۱

jafarzad@um.ac.ir

**چکیده**- در این تحقیق عوامل مؤثر در بروز حادثه‌ها در خط انتقال آب گیسور- گناباد، مانند فشارهای دائمی و گذرا، ابزار کنترل ضربه قوچ و شیرهای هوا، اثر شرایط محیطی بر خطوط لوله و کیفیت لوله‌ها مطالعه می‌شود. سیستم انتقال آب در حالت ماندگار با استفاده از نرمافزار WaterGEMS مدل‌سازی و ضریب زبری هیزن- ویلیامز واسنجی می‌شود. با ایجاد جریان گذرا نتایج حاصل از اندازه گیری محلی با نتایج عددی نرمافزار Hammer مقایسه می‌شود. عملکرد رضایت‌بخش سیستم در جریان گذرا با حضور ابزار کنترل ضربه قوچ مطالعه می‌شود. شیرهای هوا در کنترل فشارهای گذرا تأثیر زیادی ندارند. آزمایش‌ها نشان میدهد که آب خورنده یا رسوب گذار نیست. با اطمینان یافتن از عملکرد مناسب ابزار کنترل ضربه قوچ، کیفیت پایین لوله‌های به کار رفته و پوسیدگی شدید، مهم‌ترین علت بروز حادثه در خط انتقال تشخیص داده می‌شود. محاسبه طول خوردگی و تنش گسیختگی مجاز مطابق استاندارد ASME-B31 و مقایسه با مقادیر اندازه‌گیری شده نیز این مطلب را تأیید می‌کند.

**کلیدواژگان:** اتفاقات خطوط انتقال آب، ضربه قوچ، شیر هوا، شکست لوله، خط انتقال آبرسانی گیسور- گناباد.

۲۱ به عنوان مهمترین دلیل یاد می‌شود، در حالی که فقط درصد از لوله‌های به کار رفته در ایران، بیش از ۲۵ سال عمر دارند (گزارش عملکردی وزارت نیرو، ۱۳۸۸) و متوسط عمر لوله‌های چدنی و آبزیست خطوط انتقال در کشورهای توسعه یافته بیش از ۵۰ سال است (Larry, ۲۰۰۰). تحقیقات عملی نشان می‌دهد که کیفیت نامطلوب لوله‌ها، طراحی نامناسب، رعایت نکردن ضوابط فنی و اجرایی، پیش‌بینی نشدن ابزارهای کنترل ضربه قوچ و بهره‌برداری نادرست، از جمله دلایل مهم ایجاد اختلال در تأسیسات انتقال آب هستند. در شکل ۱ حادثه‌های

**۱- مقدمه**  
یکی از شاخص‌های اصلی در مدیریت منابع آب، طراحی، پیاده‌سازی و نگهداری از شبکه‌های انتقال و توزیع آب است. با وجود تلاش‌هایی که در جهت گسترش شبکه‌های انتقال و توزیع آب صورت گرفته، آمار حادثه‌های خطوط انتقال آب در ایران، فاصله زیادی با سطح جهانی دارد. ریشه‌یابی این حادثه‌ها در خطوط انتقال آب که تأمین کننده حیاتی ترین نیاز شهرها هستند، با توجه به هزینه‌های سنگین و مشکلات فراوان اهمیت زیادی دارد. در بسیاری از موارد از طول عمر بالای لوله‌ها

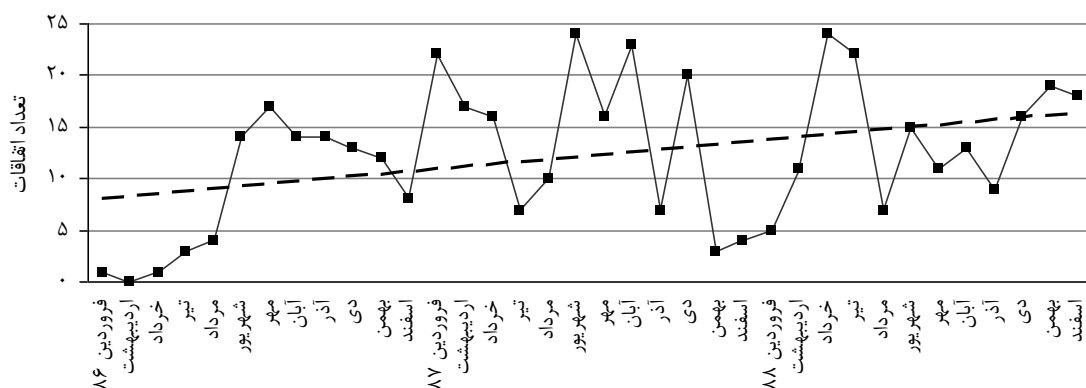
روی می‌دهد. در تحقیق حاضر، علل این حادثه‌ها، مانند اثر جریان‌های گذراء، کیفیت آب از نظر خورنده‌گی و شکست ناشی از فرسودگی لوله‌ها مطالعه می‌شود.

## ۲- مشخصات خط انتقال

باشهای از خط انتقال گیسور-گناباد با توجه به شاخص‌هایی مانند تمرکز حادثه، ارتفاع بالای پمپزنی و متنوع بودن سیستم انتقال از نظر جنس و قطر لوله، انتخاب و علل بروز حادثه‌ها در آن بررسی شد. در شکل ۲ پروفیل طولی مسیر انتخاب شده و موقعیت حادثه‌ها در سه سال گذشته نشان داده شده است.

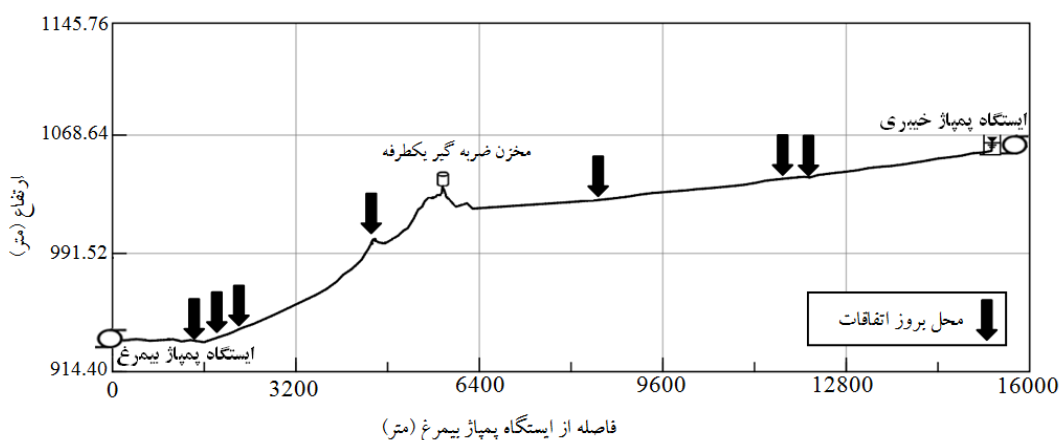
ماهیانه در خطوط انتقال آب استان خراسان رضوی در طی سالهای ۱۳۸۶ تا ۱۳۸۸ آوارده شده است.

در حال حاضر، بیشتر آب مورد نیاز شهر گناباد در استان خراسان رضوی، توسط چهار حلقه چاه در شرق این شهر (منطقه گیسور) تأمین می‌شود. آب از محل استخراج توسط خط لوله‌ای به طول ۹۵ کیلومتر و به کمک سه ایستگاه پمپزنی با حداکثر دبی بهره‌برداری برابر ۱۲۲ لیتر بر ثانیه به مخازن ذخیره‌سازی در شهر گناباد هدایت می‌شود. با وجود عمر کوتاه (هشت ساله) بهره‌برداری و مجهز بودن خط انتقال به تأسیسات کنترل ضربه قوچ، در بخش‌هایی از مسیر، حادثه شکستگی لوله به طور مکرر



شکل ۱ حادثه‌ها در خطوط انتقال آب استان خراسان رضوی در طی سال‌های ۸۸-۸۶

(گزارش واحد بهره‌برداری شرکت آب و فاضلاب استان خراسان رضوی، ۱۳۸۸)



شکل ۲ پروفیل طولی مسیر انتخاب شده و محل حادثه‌ها در بازه مورد بررسی در طی سال‌های ۸۸ تا ۸۵

(نقشه‌های ساخت خط انتقال آب گیسور-گناباد، ۱۳۸۱)

برای اندازه‌گیری دبی و سرعت از فلومتر فرacoتوی مدل Micronics Portaflow ۳۰۰ با دقت ۰/۰۲ متر بر ثانیه استفاده شد. مزیت اصلی این دستگاه، نصب سنسورها بر بدن لوله و نیاز نداشتن به دستکاری مکانیکی در خط انتقال است. فلومتر به وسیله دستگاه مبنا تنظیم شد و درستی عملکرد آن به روش حجمی در محل ایستگاه پمپزنی بررسی شد.

#### ۴- بررسی فشارهای ماندگار

##### ۱-۱- اندازه‌گیری فشارهای ماندگار در خط انتقال

فشارهای ماندگار خط انتقال به کمک سه دستگاه فشارسنج دیجیتالی در فاصله‌های زمانی ۵ دقیقه‌ای به مدت یک هفته اندازه‌گیری شد. یکی از این فشارسنج‌ها در محل ایستگاه بیمرغ و بقیه در دو نقطه با سابقه بیشتر حادثه نصب شد (جدول ۱). نتایج نشان داد که به طور معمول فشار کاری مدار، کمتر از فشار نامی لوله‌های خط انتقال است.

##### ۲-۴- واسنجی ضرایب ذیربی

در صنعت آب از رابطه هیزن ویلیامز به طور گسترده‌ای استفاده می‌شود (Stephenson, ۱۹۸۹). ضریب ذیربی هیزن ویلیامز برای لوله‌های سیمان آذبست و چند نشکن در مراجع معتبر به ترتیب برابر ۱۴۰ و ۱۲۰ ذکر شده است (Larock et al., ۲۰۰۰).

مسیر مورد نظر به طول ۱۵۳۵۰ متر در حد فاصل دو ایستگاه پمپزنی بیمرغ در تراز ۹۴۰ متری و ایستگاه خیری در تراز ۱۰۶۰ متری قرار دارد. این بازه از ۸۲۸۱ متر لوله چندی نشکن با فشارهای نامی ۳۲ و ۲۵ بار و ۷۰۶۹ متر لوله سیمانی آذبست با فشارهای نامی ۱۲ و ۹ بار تشکیل شده است. سایر اجزای خط انتقال عبارتند از: نه شیرهوا، هشت شیر تخلیه، چهار شیر پروانه‌ای قطع و وصل و دو مخزن ضربه‌گیر تحت فشار در ایستگاه بیمرغ. یک مخزن ضربه‌گیر یک طرفه نیز در فاصله ۵۷۸۹ متری از ایستگاه بیمرغ در تراز ۱۰۳۴ متری ساخته شده است. ایستگاه بیمرغ چهار الکتروپمپ فشار قوی مدل WKL ۱۲۵/۶a با قدرت الکتریکی ۱۶۰ کیلووات دارد. در وضعیت فعلی بهره‌برداری، حداکثر دو پمپ به طور همزمان در مدار قرار می‌گیرند (نقشه‌های ساخت خط انتقال آب گیسور-گناباد، ۱۳۸۱).

### ۳- ابزار اندازه‌گیری و روش واسنجی آنها در مدار

به منظور واسنجی مدل عددی و ارزیابی نتایج، از تجهیزات دقیق اندازه‌گیری فشار و دبی استفاده شد. فشار خط انتقال در جریان ماندگار با استفاده از چهار فشارسنج دیجیتالی مدل RADAN M۳۱۸ به دقت ۰/۰۱ بار اندازه‌گیری شد. از دستگاه دیتالاگر مدل RADAN ۱۰۳۷ با قابلیت حداکثر ۱۶ برداشت در ثانیه برای ثبت فشارهای ضربه قوچ استفاده شد. فشارسنج‌ها برای شرایط فشارهای استاتیکی مشخص، بررسی شده‌اند.

جدول ۱ مقایسه فشار قابل تحمل لوله‌ها و فشارهای ماندگار وارد شده به خط انتقال

متوسط فشارها در یک هفته (bar)	حداقل فشار وارد شده در یک هفته (bar)	حداکثر فشار وارد شده در یک هفته (bar)	فشار نامی لوله (bar)	قطر لوله (mm)	نوع لوله	موقعیت	فشارسنج
۱۳/۶۵	۱۲/۰۴	۱۵/۲۷	۳۲	۵۰۰	(St)	ایستگاه بیمرغ	شماره ۱
۱۳/۳۴	۱۱/۷۳	۱۴/۸۷	۲۵	۵۰۰	(D.I.)	چدن نشکن ۱۸۶۱ متری بیمرغ	شماره ۲
۳/۴۶	۳/۹۵	۵/۰۱	۹	۵۰۰	(A.C.)	سیمان آذبست ۱۲۰۵۳ متری بیمرغ	شماره ۳

## ۵- کنترل فشارهای گذرا

### ۱- مبانی نظری و حل عددی مسأله ضربه قوچ

در سیستم های تحت فشار، روابط مومنتوم و پیوستگی به شرح ذیل بر حسب خصوصیات جریان استخراج می شوند (Larock et al., ۲۰۰۰)

$$a^2 \frac{\partial V}{\partial x} + \frac{1}{\rho} \frac{\partial P}{\partial t} = 0 \quad (2)$$

$$\frac{\partial V}{\partial t} + \frac{1}{\rho} \frac{\partial P}{\partial x} + g \frac{\partial z}{\partial x} + \frac{f}{2D} V |V| = 0 \quad (3)$$

$V$  سرعت سیال (متر بر ثانیه)،  $P$  فشار (نیوتون بر متر مربع)،  $\rho$  چگالی (کیلوگرم بر مترمکعب) و  $a$  سرعت موج در لوله (متر بر ثانیه) است. سرعت موج در لوله تابع سیال و همچنین جنس، قطر و ضخامت لوله است و معمولاً بین ۹۰۰ تا ۱۵۰۰ متر بر ثانیه تخمین زده میشود (Ghidaoui et al., ۲۰۰۵).

معادلات (۲) و (۳) حل تحلیلی ندارند و در حالت کلی با روش های عددی حل می شوند. یکی از روش های معتبر و با سابقه در حل این معادلات، روش مشخصه ها<sup>۱</sup> است (Stephenson, ۱۹۹۷). مقایسه جواب های حاصل از روش های مختلف حل عددی مسأله ضربه قوچ با نتایج آزمایشگاهی نشان داده است که روش مشخصه ها نتایج بسیار دقیقی دارد و برای کارهای عملی مناسب است (Hyuk and Jiin-jen, ۲۰۰۸).

نرم افزار Hammer Haestad به عنوان یکی از مهم ترین نرم افزارهای محاسبه ضربه قوچ در سیستم های آبرسانی، از روش مشخصه ها برای حل معادلات استفاده می کند. این نرم افزار علاوه بر دقت بالای محاسباتی، توانایی شبیه سازی گستره وسیعی از تجهیزات سیستم انتقال از جمله انواع شیرآلات به ویژه شیرهای هوا، مخازن و انواع تجهیزات حفاظتی ضربه قوچ را دارد. در این تحقیق از نرم افزار Hammer برای مدل سازی جریانهای گذرا ناشی از ضربه قوچ استفاده شده است.

در تحقیق حاضر، ضریب زبری، با توجه به طول عمر و شرایط حاکم بر خط لوله، به عنوان یکی از مهم ترین پارامترهای مدل سازی، با آزمایش های میدانی تعیین شد. بدین منظور بخش هایی از خط انتقال شامل لوله های چدن نشکن و آزبست با جنس و قطر ثابت انتخاب و اختلاف فشار در دو طرف لوله برای دبی های مختلف توسط فشارسنج دیجیتالی اندازه گیری شد. پس از کم کردن اختلاف تراز دو نقطه و افت های جزئی، مقدار افت هد اصطکاکی از رابطه برنولی تخمین زده شد. در هر آزمایش با قرار دادن مشخصات قطر  $D$  و طول  $L$  لوله ( $m$ )، دبی ( $Q$  متر مکعب بر ثانیه) و افت هد اصطکاکی  $h_f$  (متر)، ضریب زبری هیزن ویلیامز  $C_{HW}$  محاسبه می شود (Larock et al., ۲۰۰۰)

$$C_{HW} = \left( \frac{10.68 L Q}{h_f D^{4.87}} \right)^{\frac{1}{1.852}} \quad (1)$$

در نتیجه متوسط ضریب زبری برای لوله های سیمان آزبست و چدن نشکن به ترتیب برابر ۱۲۳ و ۹۱ به دست آمد. علت زبری بیشتر لوله ها نسبت به مقادیر استاندارد را می توان عمر زیاد لوله ها و فرسودگی دانست.

مدل سازی جریان ماندگار به کمک نرم افزار WaterGEMS انجام شد. در این مدل، ارتفاع آب در مخزن ایستگاه بیمغ و نحوه ورود آب به مخزن خیری در نظر گرفته شد. در جدول ۲ نتایج فشارهای نسبی حاصل از اندازه گیری های میدانی و مدل سازی در موقعیت نقاط جدول ۱ با در مدار بودن دو پمپ درج شده است. در صورت تخمین خوب ضریب هیزن ویلیامز، در حد یک درصد خطأ وجود دارد.

جدول ۲ فشارهای نسبی محاسباتی و اندازه گیری شده در نقاط مختلف خط انتقال با دو پمپ در مدار

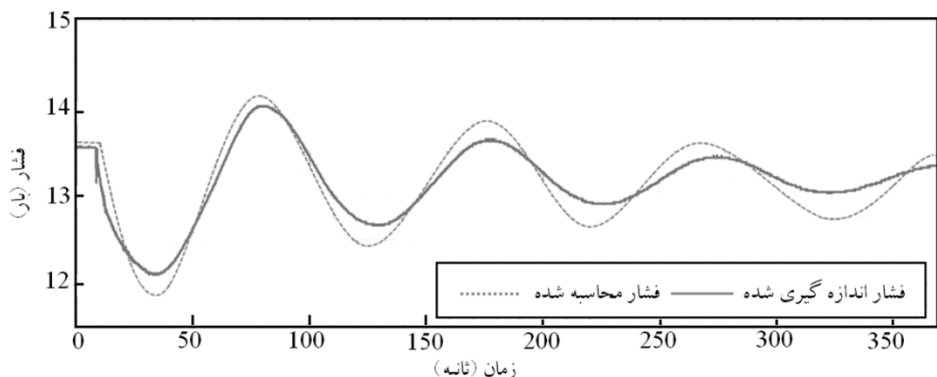
شماره	فشار سنج	فشار ثبت با $P_{meas}$ (bar)	فشار برآورد شده با $P_{meas}$ (bar)	درصد خطأ = $\frac{P_{meas} - P}{P_{meas}} \times 100$
۱	۱۴/۶۶	۱۴/۸۱	۱۴/۸۱	۱/۰۲
۲	۱۴/۳۸	۱۴/۵۹	۱۴/۵۹	۱/۴۶
۳	۴/۶۰	۴/۶۴	۴/۶۴	۰/۸۷

۱. Method of Characteristics

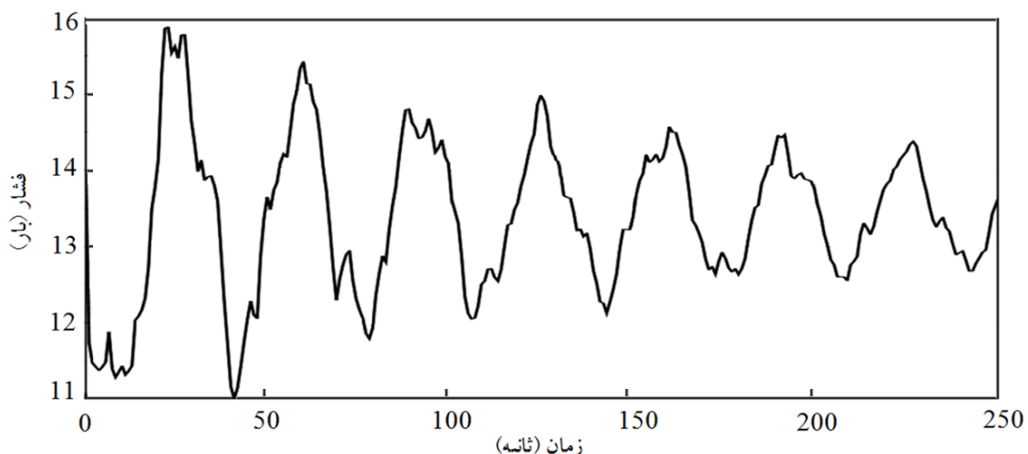
منحنی فشار، عملکرد مناسب مخازن ضربه‌گیر تحت فشار را نشان می‌دهد. در صورت در مدار نبودن یا عمل نکردن این مخازن، منحنی هد فشار ناشی از خاموش شدن پمپ، در محل ایستگاه بسیار نامنظم می‌شود (شکل ۴). مطالعات عددی نشان داد که در صورت خاموش شدن همزمان دو یا سه پمپ، مخازن ضربه‌گیر به خوبی فشارهای ضربه‌قوج را مهار می‌کنند. در شکل ۵ حداکثر و حداقل فشارهای ناشی از خاموش شدن همزمان سه پمپ (حداکثر ظرفیت بهره‌برداری) در طول خط انتقال ترسیم شده است. نوع لوله در هر قسمت و فشار نامی آن مطابق جدول ۱ در شکل آورده شده است. فشارهای کمینه و بیشینه در محدوده مجاز هستند.

## ۲-۵- اندازه‌گیری‌های میدانی و نتایج عددی

به منظور بررسی عملکرد ابزار کنترل ضربه‌قوج، با خاموش کردن ناگهانی یک پمپ در ایستگاه، فشارهای تولید شده در بازه‌های زمانی ۰/۰۶۲۵ ثانیه به وسیله دیتالاگر اندازه‌گیری و ثبت شد. پس از وارد کردن اطلاعات مدل جریان ماندگار به نرم‌افزار Hammer تعريف مشخصات مخازن ضربه‌گیر تحت فشار، تانک ضربه‌گیر یک طرفه، اتصالات مخازن به لوله انتقال و دستور خاموش شدن پمپ، مدل جریان غیرماندگار تهیه شد. در شکل ۳ نتایج مدل رایانه‌ای ضربه‌قوج در حالت خاموش شدن ناگهانی پمپ در مقایسه با نتایج اندازه‌گیری در ایستگاه نشان داده شده است. تطابق منحنی‌های محاسباتی و اندازه‌گیری و شکل سینوسی، منظم و میرای



شکل ۳ فشارهای گذرای نسبی محاسباتی و اندازه‌گیری شده ناشی از خاموش شدن ناگهانی پمپ



شکل ۴ منحنی فشار گذرای نسبی - زمان محاسباتی ناشی از خاموش شدن پمپ بدون عملکرد ابزار کنترل ضربه‌قوج

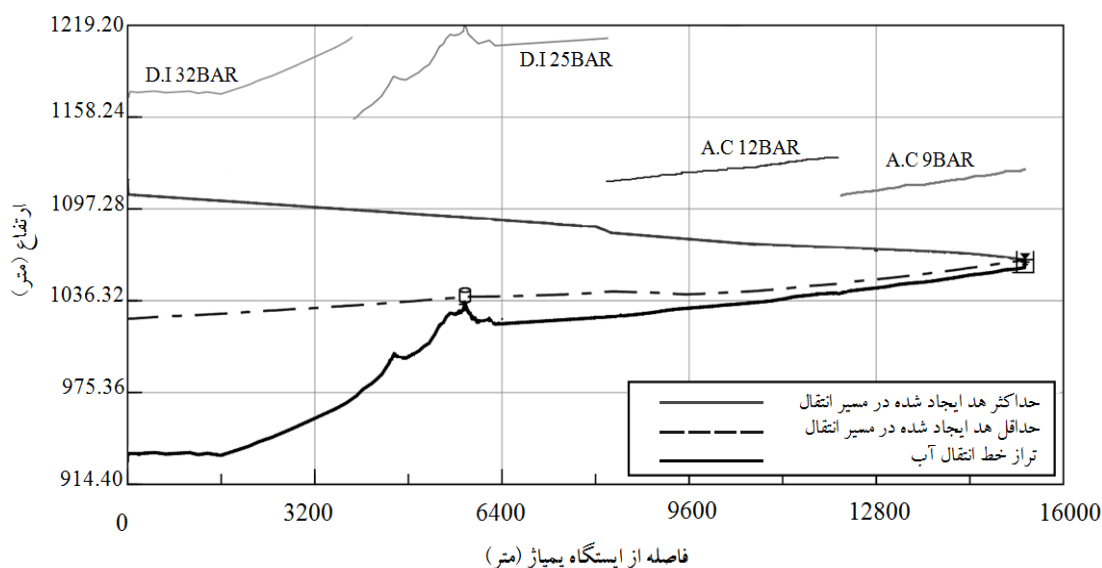
(عملکرد سه‌گانه) هستند. در این شیرها، ورود هوا همواره از روزنه‌ای با قطر ثابت انجام می‌شود، اما خروج هوا نخست از طریق روزنه بزرگتر صورت گرفته و درست قبل از آن که کل هوای محبوس خارج شود، روزنه خروجی بزرگ بسته شده و هوا فقط از روزنه‌ای کوچک خارج می‌شود. هوای باقیمانده که با سرعت بسیار کمتری خارج می‌شود در زمان برخورد ستون‌های آب به همدیگر، نقش بالشتک مستهلك کننده فشار را بازی می‌کند. چنان‌چه در سیستم‌های انتقال آب، ترکیبی از شیرهای هوا و سایر ابزار حفاظتی مانند مخزن‌های تحت فشار و مخزن‌های ضربه‌گیر استفاده شود، اندازه و هزینه‌های ابزار کاهش می‌یابد (Zloczower, ۲۰۰۹).

شیرهای هوای مورد استفاده در خط انتقال گیسور- گناباد عملکرد سه‌گانه دارند. قطر روزنه بزرگ این شیرها برابر  $1/56$  میلی‌متر و قطر روزنه کوچک آنها برابر  $49/5$  میلی‌متر است. با نصب شیرهای هوا در محل مناسب ، در انرژی صرفه‌جویی و بهره‌برداری از خط انتقال مطمئن می‌شود. نصب این شیرها در محل‌های نامناسب، مشکلات و خطرهایی را برای خط لوله و پمپ‌ها به وجود می‌آورد (Stephenson, ۱۹۹۷).

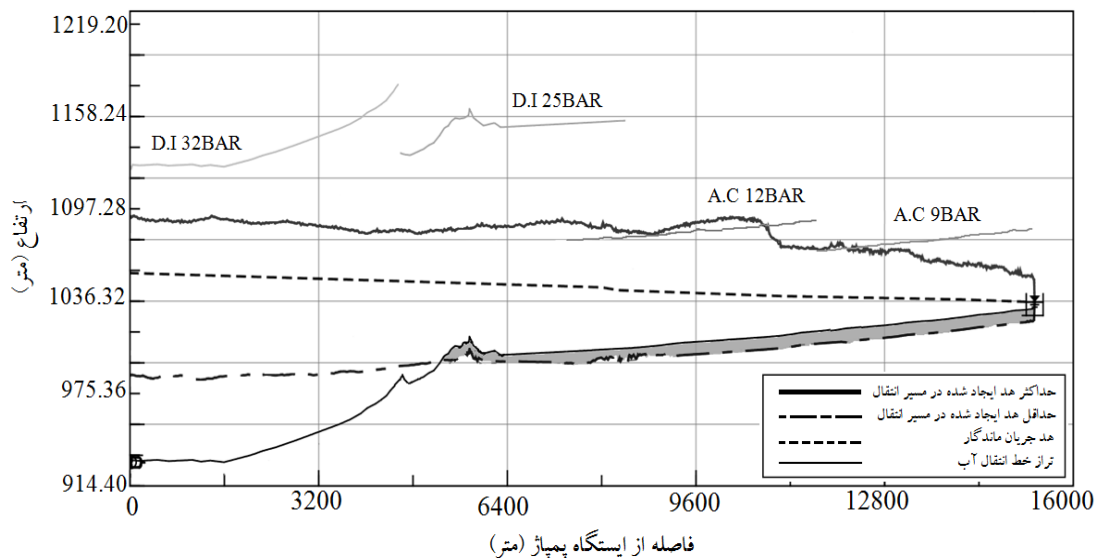
در شکل ۶ بیشینه و کمینه هد ناشی از خاموش شدن همزمان دو پمپ (حداکثر بهره‌برداری فعلی) بدون عملکرد تاسیسات کنترل ضربه قوچ ترسیم شده است. در این حالت، فشارهای مثبت در بعضی نقاط لوله آذیت از حد مجاز تجاوز می‌کند و فشارهای منفی شدید، بخش وسیعی از خط انتقال را در بر می‌گیرد . این فشارها در شکل با ناحیه خاکستری رنگ مشخص شده است. بنابراین در صورت عمل نکردن سیستم های کنترل کننده ضربه قوچ، تاسیسات انتقال آب توانایی تحمل فشارهای مثبت و منفی ایجاد شده را ندارند.

### ۳-۵-۱) شیرهای هوا

هنگامی که هد فشاری آب پایین‌تر از پروفیل خط لوله قرار گیرد، شیرهای هوا اجازه ورود هوا به لوله را می‌دهند و در زمان نزدیک شدن ستون‌های جدا شده آب به یکدیگر، هوا را خارج می‌کنند. پس از خروج هوا و افزایش فشار، شیر بسته می‌شود. این شیرها به طور خودکار با بالا و پایین رفتن شناور عمل می‌کنند (Pozos Estrada, ۲۰۰۷). در حال حاضر شیرهای هوا مورد استفاده در بیشتر خطوط انتقال آب ایران از نوع ترکیبی



شکل ۵ منحنی کمینه و بیشینه هد ناشی از خاموش شدن سه پمپ در طول خط انتقال با عملکرد ابزار کنترل ضربه قوچ



شکل ۶ منحنی کمینه و بیشینه هد ناشی از خاموش شدن دو پمپ بدون عملکرد ابزار کنترل ضربه قوچ

## ۷- علت‌های احتمالی شکست

### ۱- انواع شکست

شکست لوله‌های آب به چهار شکل دیده می‌شود (Rajani and Zhan, ۱۹۹۶)

(الف) شکست حلقوی (محیطی): به علت تنش‌های کششی محوری بزرگ اتفاق می‌افتد. این تنشها به علل مختلفی مانند انقباض و انبساط لوله، تغییر حجم بستر، یخ زدگی خاک و افزایش بار عمودی به وجود می‌آیند.

(ب) شکست طولی: به علت وارد شدن تنش‌های محیطی به دیوار داخلی لوله یا بروز خمیدگی در سطح آن ایجاد می‌شود (Morris, ۱۹۶۷). در میان عوامل بروز تنش‌های محیطی می‌توان به فشارهای گذرا (ضربه قوچ) و افزایش حجم ناشی از یخ زدن آب در داخل لوله اشاره کرد.

فشارهای مثبت و منفی طولی ممکن است باعث آسیب دیدن لوله، به ویژه در نقاط ضعیف‌تر شود. شکل ۸

شکست طولی خط انتقال گیسور-گناباد را قبل از نصب ابزار کنترل ضربه قوچ در مدار نشان می‌دهد.

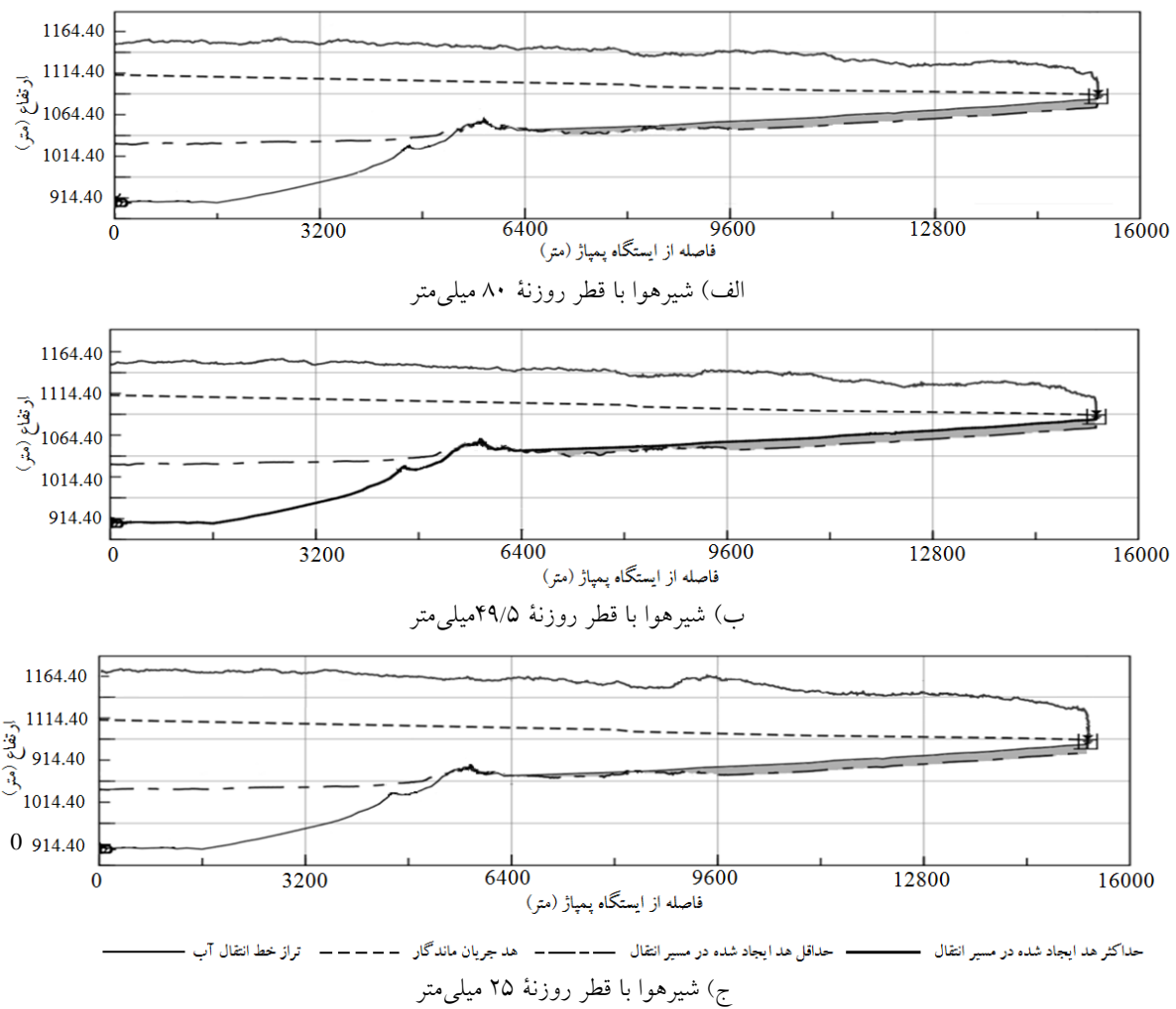
(ج) شکست در محل اتصالات: به علت ضعف اتصالات یا عدم دقیق در کارگذاری لوله به وجود می‌آید.

(د) شکست ناشی از خوردگی: در نقاط پوسیده شده اتفاق می‌افتد.

به منظور بررسی اثر اندازه شیرهای هوا بر کاهش فشارهای گذرا، مشخصات شیر هوا موجود در خط انتقال (DN ۱۰۰ با قطر روزنی بزرگ برابر ۴۹/۵ میلی‌متر) و شیر هوا بزرگتر (DN ۱۵۰ با قطر روزنی بزرگ برابر ۸۰ میلی‌متر) و کوچکتر (با قطر روزنی بزرگ برابر ۲۵ میلی‌متر) مطابق راهنمای شرکت تولید کننده، به نرم افزار Hammer وارد شد. در تمامی حالت‌ها قطر روزنی کوچک ثابت و برابر ۱/۵۶ میلی‌متر بود. در شکل ۷ فشارهای گذرا برای سه نوع شیر هوا ترسیم شده است. شیر بزرگتر (DN ۱۵۰) تأثیر چندانی بر کاهش فشارهای گذرا ندارد اما شیر کوچکتر، بیشینه فشار وارد شده به خط انتقال را افزایش میده. بنابراین شیرهای فعلی خط انتقال مناسب هستند.

## ۶- اثر کیفیت آب بر لوله‌ها

برای مطالعه اثر خورندگی یا رسوب‌گذاری آب بر لوله‌ها، نتایج آزمایش‌های کنترل کیفی آب با استفاده از شاخص‌های لاتزیه و رایزنر بررسی شد و نتایج نشان داد که آب خورندگی ندارد و رسوب‌گذار نیز نیست.



شکل ۷ تأثیر اندازه شیرهای هوا بر کاهش فشارهای گذرا

## ۲-۷- مشخصات لوله‌های حادثه دیده

حادثه‌های خط انتقال آب گیسور-گناباد در طی سال‌های ۱۳۸۵ تا ۱۳۸۸ در محله‌ای مشخص شده در شکل ۲ در مناطقی روی داده که جنس لوله معمولاً از چدن نشکن بوده است. مطابق جدول ۱ فشارهای ماندگار در خط لوله با استاندارد معمول، بسیار کمتر از فشار کاری موجود در آن است. بررسی عملکرد ابزار کنترل ضربه قوچ نیز نشان داد که این ابزار قابلیت مهار فشارهای گذرا را در محدوده فشار کاری خط لوله دارند (شکل ۵). اما در بازدید لوله‌های حادثه دیده، زنگزدگی شدید در سطوح خارجی و پوسیدگی‌های موضعی در داخل لوله مشاهده شد

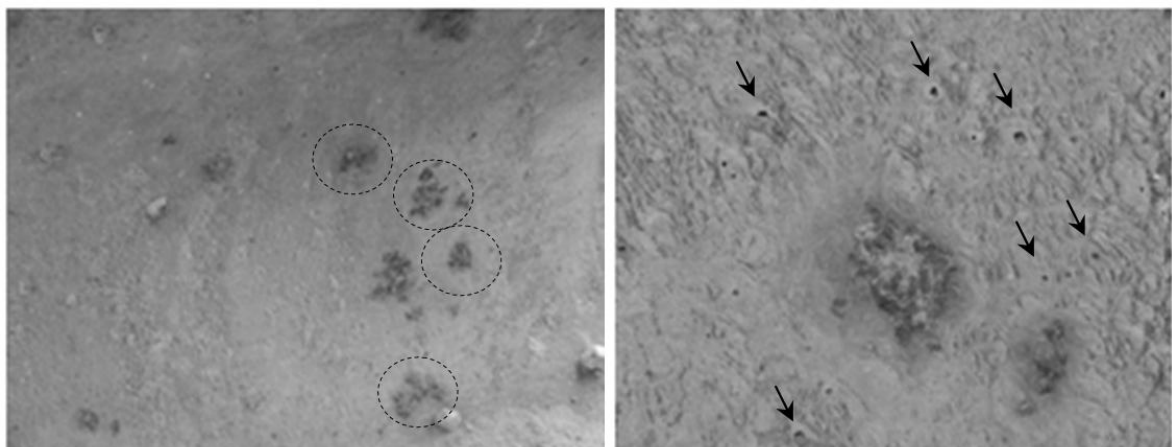


شکل ۸ شکست طولی لوله خط انتقال گیسور-گناباد ناشی از فشارهای گذرا مثبت و منفی

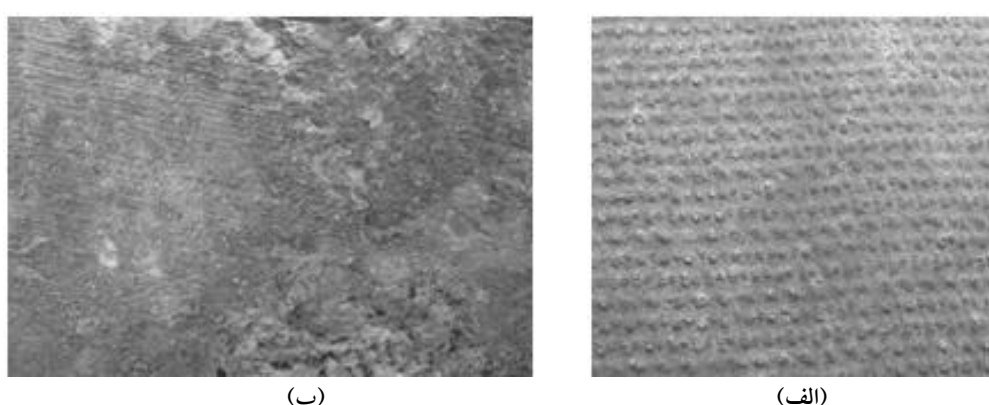
پوشش قیری اطراف آن کافی به نظر نمیرسد. بر اساس تحقیقات انجام شده، لوله‌های خریداری شده، احتمالاً از مواد بازیافتی با کیفیت نامناسب تهیه شده است.

به منظور تخمین مقدار کاهش مقاومت لوله طول و حداکثر عمق خوردگی مطابق شکل ۱۲ بر اساس استاندارد ASME-B31-2009 حداثه دیده اندازه‌گیری شد و به ترتیب  $L_c = 305$  mm و  $d_c = 6.5$  mm در محل بروز شکستگی برای جریان ماندگار برابر  $14/87$  بار (جدول ۱) و در صورت خاموش شدن ناگهانی سه پمپ و عملکردن ابزار کنترل ضربه قوچ برابر  $18/64$  بار (شکل ۵) است.

(شکل ۹). زنگزدگی لوله‌های چدن نشکن، مقاومت مکانیکی آنها را در برابر فشارهای داخلی کم می‌کند (Makar, ۲۰۰۲). به علاوه نازک شدن دیوار و توسعه حفره‌های ریز و پراکنده در سطح لوله، از عوامل اساسی کاهش عمر به حساب می‌آیند (Yilmaz et al., ۲۰۱۰). در شکل ۱۰ لوله چدن نشکن مرغوب با نمونه زنگ زده موجود مقایسه شده است. مطابق شکل ۱۱ بعضی لوله‌ها در محل بروز شکستگی نازک شده بودند. در هیچ یک از لوله‌های حداثه دیده، شکست طولی مشاهده نشد. متأسفانه در زمان لوله‌گذاری، آزمایش‌های مشخص کننده خورندگی خاک انجام نشده بود. بر اساس نظر کارشناسان جنس خاک در محل‌های حداثه مشکوک به خورندگی بالا است. به علاوه حفاظت لوله ضعیف بوده و ضخامت



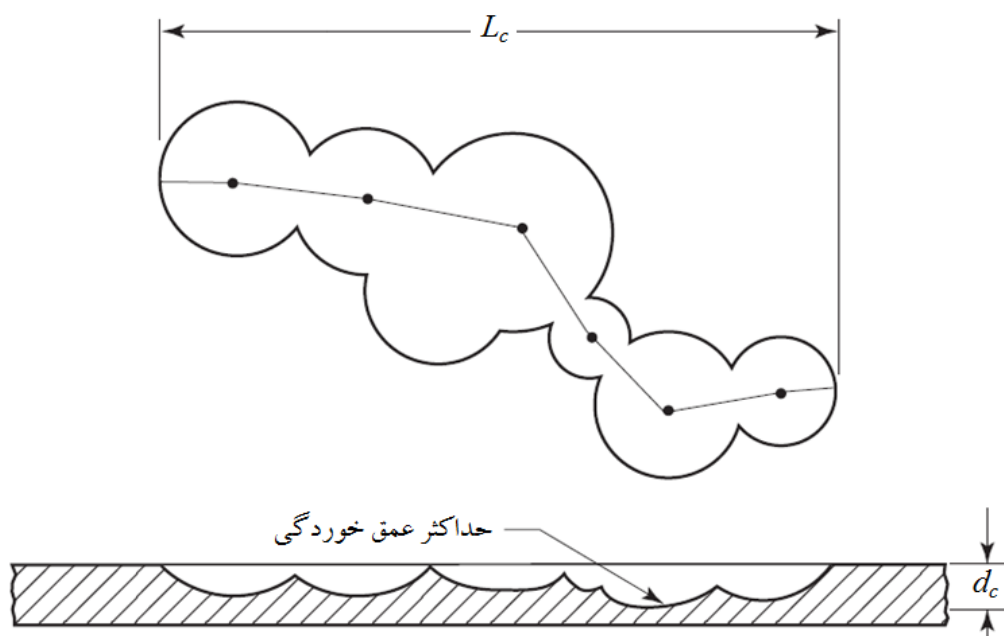
شکل ۹ زنگزدگی موضعی در دیوار داخلی لوله و حفره‌های ریز در اطراف نقاط زنگزدگی



شکل ۱۰ (الف) لوله چدنی با کیفیت مناسب، ب) نمونه‌ای از لوله‌های موجود در خط انتقال



شکل ۱۱ زنگ زدگی شدید سطح خارجی لوله در محل بروز حادثه

شکل ۱۲ اندازه‌گیری طول ( $L_c$ ) و بیشینه عمق خوردگی ( $d_c$ ) لوله‌ها مطابق استاندارد (ASME-B31-2009)

الف- رده ارزیابی صفر: در این رده طول خوردگی مجاز

$L_a$  با داشتن بیشینه عمق خوردگی اندازه‌گیری شده،

محاسبه می‌شود (ASME, ۲۰۰۹).

$$L_a = 1.12B \sqrt{D_o t} \quad (4)$$

قطر اسمی خارجی لوله و  $t$  ضخامت دیواره است.

ضریب  $B$  از رابطه زیر به دست می‌آید.

### ۳-۷- طول مجاز خوردگی و تنش گسینختگی

در استاندارد ASME-B31-2009 چهار رده ارزیابی

شکست لوله‌ها، بسته به کمیت یا کیفیت داده‌های موجود،

پیشنهاد می‌شود (ASME, ۲۰۰۹). در تحقیق حاضر با

توجه به اندازه‌گیری‌های انجام شده از دو رده می‌توان

استفاده کرد.

ضریب قوچ، کیفیت آب از نظر خورندگی و نوع شکستگی لوله‌ها مطالعه شد. نقاط حساس پروژه مشخص و سیستم انتقال آب در حالت ماندگار با استفاده از نرم‌افزار WaterGEMS مدل‌سازی شد. ضریب زبری هیزن-ویلیامز در مقایسه با آزمایش‌های میدانی به دست آمد. زبری ناشی از عمر و همچنین فرسودگی لوله‌ها بیشتر از مقادیر توصیه شده بود.

با ایجاد ضریب قوچ و در مقایسه فشارهای حاصل از اندازه‌گیری محلی با نتایج مدل عددی جریان ناماندگار حاصل از نرم‌افزار Hammer رضایت‌بخش بود. مطالعات عددی نشان داد که با خاموش شدن همزمان دو یا سه پمپ، مخازن ضربه‌گیر به خوبی فشارهای ضریب قوچ را مهار می‌کنند، اما در صورت عمل نکردن سیستم‌های ضربه‌گیر، لوله‌ها توانایی تحمل فشارهای مثبت و منفی ایجاد شده را ندارند. شیرهای هوای موجود تأثیر نسبتاً کمی در کاهش فشار دارند. آزمایش‌های کنترل کیفیت آب نشان داد که آب خورندگی ندارد و رسوب‌گذار نیست. اما با توجه به زنگزدگی و نوع شکست لوله‌ها مشخص شد که خورندگی خاک و کیفیت پایین لوله‌های به کار رفته و حفاظت ناکافی مهم‌ترین علت بروز حادثه در این خط انتقال است. طول خورددگی اندازه‌گیری شده در نمونهای از لوله‌های حادثه دیده در حدود ۱۰ برابر و تنش حلقوی ASME-۲۵ درصد بیشتر از مقادیر مجاز مطابق استاندارد B31-۲۰۰۹ به دست آمد.

## ۹- تقدیر و تشکر

مؤلفان از شرکت آب و فاضلاب استان خراسان رضوی و نیز دانشگاه فردوسی مشهد به سبب پشتیبانی‌های مالی و فنی در انجام این تحقیق تقدیر و تشکر می‌کنند.

## ۱۰- فهرست علائم

<i>a</i>	سرعت موج ضربه در لوله (m/s)
<i>D</i>	قطر داخلی لوله (m)

$$B = \sqrt{\left( \frac{d_c/t}{1.1d_c/t - 0.15} \right)^2 - 1} \quad (5)$$

با توجه به بیشینه عمق خورددگی اندازه‌گیری شده  $d_c = 65 \text{ mm}$ ، طول مجاز خورددگی برای خط لوله چدن داکتیل با  $t = 8 \text{ mm}$  و  $D_o = 516 \text{ mm}$  برابر  $31/6$  میلی‌متر به دست می‌آید. طول خورددگی اندازه‌گیری شده  $L_c = 305 \text{ mm}$  در حدود ده برابر بیشتر از حد مجاز است.

ب- ردۀ ارزیابی یک: در این ردۀ مقاومت گسیختگی لوله زنگ زده تخمین زده می‌شود. در ابتدا تنش سیلان  $S_{flow}$  ده درصد بیشتر از کمینه تنش تسليم SMYS فرض می‌شود (ASME, ۲۰۰۹)

$$S_{flow} = 1.1 \times SMYS \quad (6)$$

سپس پارامتر Z محاسبه می‌شود (ASME, ۲۰۰۹)

$$Z = \frac{D_o^2}{L_c t} \quad (7)$$

و برای  $Z > 20$  تنش گسیختگی لوله  $S_F$  به دست می‌آید (ASME, ۲۰۰۹)

$$S_F = S_{flow} (1 - d_c/t) \quad (8)$$

سپس تنش حلقوی  $S_0$  در بیشینه فشار کاری P محاسبه می‌شود (ASME, ۲۰۰۹)

$$S_0 = PD_o / 2t \quad (9)$$

برای ضریب اطمینان مشخص SF باید  $S_F > S_0 \cdot SF$  باشد تا خورددگی قابل قبول باشد.

در خط لوله گیسور-گناباد در فشار گذراي (شکل ۵)، تنش حلقوی P = ۱۸.۶۴ bar (۱.۸۶۴ MPa) به دست می‌آید. با احتساب تنش تسليم  $S_0 = 60 \text{ MPa}$  (ASME, ۲۰۰۹) برای چدن داکتیل، تنش گسیختگی لوله برابر  $S_F = 60 \text{ MPa}$  بوده و چنانچه ضریب اطمینان حداقل SF = ۱.۲۵ فرض شود، تنش حلقوی ۲۵ درصد بیشتر از حد مجاز آن است.

## ۸- نتیجه‌گیری

عوامل احتمالی ایجاد حادثه‌ها در خط انتقال گیسور-گناباد مانند فشارهای جریان دائمی و گذرا، عملکرد ابزار کنترل

ASME. (۲۰۰۹). Manual for determining the remaining strength of corroded pipelines, ASME B۳۱G-۲۰۰۹, Supplement to ASME B۳۱ Code for Pressure Piping.

Ghidaoui M., Zhao M., McInnis D. A. and Axworthy D. H. (۲۰۰۵). "A review of water hammer theory and practice", Applied Mechanics Reviews, ASME, ۵۸(۴۹), pp. ۴۹-۷۶.

Hyuk J. K. and Jiin-Jen L. (۲۰۰۸). "Computer and experimental models of transient flow in pipe involving backflow preventers", J. of Hydraulic Eng., ۱۳۴(۴), pp. ۴۲۶-۴۳۴.

Larock B., Jeppson W. and Watters G. (۲۰۰۰). Hydraulics of pipeline systems, CRC Press.

Larry W. M. (۲۰۰۰). Water distribution system handbook. McGraw-Hill Press, USA.

Makar J. M. (۲۰۰۲). "Investigating large gray cast-iron pipe failures: a step by step approach", NRC Institute for Research in Construction, National Research Council Canada, pp. ۱۲۶-۱۳۹.

Morris, R. E. (۱۹۶۷). "Principal causes and remedies of water main breaks". J. Am. Water Works Assoc., ۵۹(۷), pp ۷۸۲-۷۹۲.

Pozos Estrada O. (۲۰۰۷). "Investigation on the effects of entrained air in pipelines", PhD Thesis, Institute of Hydraulic Eng., University of Stuttgart.

Rajani B. and Zhan C. (۱۹۹۶). "Pipe-soil interaction analysis of jointed water mains", Can. Geotech. J., ۳۳(۳), pp. ۳۹۳-۴۰۴.

Stephenson D. (۱۹۸۹). Pipeline design for water engineers, Elsevier Science Publishers, The Netherlands.

Stephenson D. (۱۹۹۷). "Effect of air valves and pipework on water hammer pressures", J. Transportation Eng., ۱۲۳(۲), pp. ۱۰۱-۱۰۶.

Yilmaz F., Cevher O. and Bayraktar M. (۲۰۱۰). "Ductile iron pipe surface characterization and pinhole formation", ۵<sup>th</sup> Ankıros Foundry congress, Turkey.

$D_o$	قطر خارجی لوله (mm)
$d_c$	حداکثر عمق خوردگی (mm)
$L$	طول لوله (m)
$L_a$	طول مجاز خوردگی (mm)
$L_c$	طول اندازه‌گیری خوردگی (mm)
$C_{HW}$	ضریب زیری هیزن ویلیامز
$h_f$	افت هد اصطکاکی (m)
$P$	فشار کاری سیال (Pa)
$Q$	دبی ( $m^3/s$ )
$V$	سرعت سیال (m/s)
$S_o$	تشن حلقوی (MPa)
$S_F$	تشن گستاخگی (MPa)
$S_{flow}$	تشن جریان (MPa)
$SMYS$	کمینه تشن تسليم (MPa)
$t$	ضخامت لوله (mm)
$\rho$	چگالی سیال ( $kg/m^3$ )

## ۱۱- منابع

گزارش عملکردی برنامه وزارت نیرو در بخش آب و فاضلاب طی سال‌های ۱۳۸۵، ۱۳۸۶، ۱۳۸۷ و ۱۳۸۸ (۱۳۸۸). دفتر برنامه ریزی تلفیقی و راهبردی.

گزارش واحد بهره‌برداری شرکت آب و فاضلاب استان خراسان رضوی، (۱۳۸۸). آرشیو اسناد شرکت آب و فاضلاب استان خراسان رضوی.

نقشه‌های چون ساخت خط انتقال آب گیسور-گناباد، (۱۳۸۱). آرشیو اسناد شرکت آب و فاضلاب استان خراسان رضوی.

Zloczower N. (۲۰۰۹). "Control of transient induced contaminant leakage and infiltration by implementation of air valves", A.R.I. Flow Control Accessories, pp. ۱۶۴-۱۹۲.